

УДК 519.8

ПОЛИНОМИАЛЬНЫЙ АЛГОРИТМ  
С ОЦЕНКОЙ ТОЧНОСТИ  $3/4$  ДЛЯ ОТЫСКАНИЯ ДВУХ  
НЕПЕРЕСЕКАЮЩИХСЯ ГАМИЛЬТОНОВЫХ ЦИКЛОВ  
МАКСИМАЛЬНОГО ВЕСА<sup>\*)</sup>

А. А. Агеев, А. Е. Бабурин, Э. Х. Гимади

Рассматривается задача отыскания в полном неориентированном взвешенном графе двух (рёберно) непересекающихся гамильтоновых циклов максимального суммарного веса. Известно, что данная задача NP-трудна в сильном смысле. Построен алгоритм решения задачи с временной сложностью  $O(n^3)$  и гарантированной оценкой точности  $3/4$ .

Введение

Во многих задачах оптимизации в заданном взвешенном графе требуется отыскать подграф (клику, доминирующее множество, остовное дерево, гамильтонов цикл, вершинное покрытие и т. п.) минимального или максимального веса. Естественными модификациями подобных задач являются задачи, в которых требуется найти несколько (вершинно или рёберно) непересекающихся подграфов определённого типа минимального или максимального суммарного веса. Одной из первых задач этого типа, привлёкших внимание исследователей, является задача о  $m$  бродячих торговцах ( $m$ -peripatetic salesman problem [14], далее  $m$ -PSP). В задаче  $m$ -PSP задан полный  $n$ -вершинный неориентированный граф  $G = (V, E)$  с неотрицательной весовой функцией рёбер  $w : E \rightarrow \mathbb{R}_+$ . Требуется найти  $m$  таких непересекающихся по ребрам гамильтоновых циклов  $H_1, \dots, H_m \subset E$ , что величина  $\sum_{k=1}^m \sum_{e \in H_k} w(e)$  минимальна или максимальна.

В [9] показано, что задача о существовании двух непересекающихся гамильтоновых циклов NP-полна, что влечет NP-трудность 2-PSP (как на минимум, так и на максимум).

---

<sup>\*)</sup>Исследование выполнено при финансовой поддержке Российского фонда фундаментальных исследований (проекты 05-01-00395, 05-01-00960, 06-01-00255) и INTAS (грант 04-77-7193).

В [9] рассмотрены некоторые полиномиально разрешимые случаи задачи 2-PSP на минимум. Работы [9–11] посвящены построению и анализу нижних и верхних оценок в задаче 2-PSP на минимум с целью использования этих оценок в методе ветвей и границ. В [2] применяется полиэдральный подход к решению  $m$ -PSP. В [1, 2, 5] для решения метрической задачи 2-PSP на минимум предложены два приближённых алгоритма с временной сложностью  $O(n^3)$  в случае, когда на рёбрах графа задана одна или две весовые функции. Показано, что соответствующие оценки точности асимптотически (с ростом  $n$ ) равны  $9/4$  и  $12/5$ . При построении алгоритмов существенно использовалась широко известная эвристика Кристофидеса-Сердюкова для метрической задачи коммивояжёра с оценкой точности  $3/2$  (см. [3, 6]). Позднее оценка  $9/4$  для задачи с одной весовой функцией была также анонсирована в [7].

В настоящей статье рассматривается задача 2-PSP на максимум (далее под 2-PSP понимается только эта задача). Для нахождения приближённого решения задачи построен алгоритм с временной сложностью  $O(n^3)$  и гарантированной оценкой точности  $3/4$ .

В основе алгоритма лежит общая идея, впервые реализованная А. И. Сердюковым [4] при построении приближённого алгоритма для нахождения одного гамильтонова цикла максимального веса в полном неориентированном взвешенном графе с теми же оценками временной сложности и точности. Алгоритм Сердюкова в исходном графе находит два подграфа — 2-фактор и паросочетание, суммарный вес которых не менее чем в  $3/2$  раза больше веса оптимального решения. Затем рёбра этих подграфов перераспределяются между двумя частичными турами, произвольно дополняемыми до гамильтоновых циклов. Максимальный из построенных циклов (по весу входящих в него рёбер) даёт решение с оценкой точности  $3/4$ . Нетрудно понять, что прямое применение этой схемы к задаче 2-PSP не приводит к успеху, поскольку построенные таким образом частичные туры могут содержать одинаковые рёбра. В настоящей статье предлагается алгоритм, в котором в качестве исходного подграфа, подвергающегося разбиению на два непересекающихся по рёбрам частичных тура, используется либо кубический подграф (при чётном  $n$ ), либо "почти кубический" подграф (при нечётном  $n$ ) максимального веса. Более того найденные рёберно непересекающиеся частичные туры в дальнейшем удаётся дополнить до непересекающихся по рёбрам гамильтоновых циклов, что далеко не всегда возможно в случае произвольных рёберно непересекающихся частичных туров.

В процессе работы алгоритм обращается к процедуре отыскания в

полном взвешенном графе  $G = (V, E)$  такого подграфа  $H$  максимального суммарного рёберного веса, что степени его вершин удовлетворяют следующим ограничениям снизу и сверху:  $l_v \leq d(v) \leq u_v$ ,  $v \in V$ . В качестве такой процедуры используется алгоритм Габова из [13] с временной сложностью  $O\left(\min(|E| \log n, n^2) \sum_{v=1}^n u_v\right)$ .

### 1. Описание алгоритма

**Этап 0.** При  $n \leq 13$  задача решается полным перебором. На этом алгоритм заканчивает свою работу. Иначе осуществляется переход на этап 1.

**Этап 1.** Вводится новая весовая функция рёбер  $\tilde{w}(e) = w(e) - L$ , где

$$L = \sum_{e \in E} w(e) + 1.$$

С использованием процедуры из [13] к графу  $G$  с весовой функцией  $\tilde{w}$  находится подграф максимального веса  $\tilde{G} = (V, \tilde{E})$  такой, что  $3 \leq d_{\tilde{G}}(v) \leq 4$ ,  $v \in V$ . Пусть  $\overline{G} = (V, \overline{E})$  – другой такой подграф и  $|\overline{E}| > |\tilde{E}|$ . Тогда

$$w(\tilde{E}) - w(\overline{E}) = \sum_{e \in \tilde{E}} w(e) - \sum_{e \in \overline{E}} w(e) + L(|\overline{E}| - |\tilde{E}|) \geq L - \sum_{e \in \overline{E}} w(e) \geq 1.$$

Отсюда следует, что подграф  $\tilde{G}$  имеет минимально возможное число рёбер. Значит, в случае чётного  $n$  подграф  $\tilde{G}$  является кубическим, а в случае нечётного  $n$  он имеет только одну вершину степени 4, а степени остальных его вершин равны 3. Так как вес подграфа  $\tilde{G}$  относительно весовой функции  $\tilde{w}$  равен  $\sum_{e \in \tilde{E}} w(e) - L|\tilde{E}|$ , то этот подграф будет иметь максимальный вес относительно весовой функции  $w$  среди всех таких графов. Переход на этап 2.

**Этап 2.** В графе  $\tilde{G} = (V, \tilde{E})$  веса рёбер  $w'(e)$  переопределяются следующим образом:

$$w'(e) = \begin{cases} -1, & \text{если } e = (v', v'') \in \tilde{E}, d_{\tilde{G}}(v') = 3 \text{ и } d_{\tilde{G}}(v'') = 3, \\ 1, & \text{если } e = (v', v'') \in \tilde{E} \text{ и } d_{\tilde{G}}(v') + d_{\tilde{G}}(v'') = 7. \end{cases}$$

В графе  $\tilde{G}$  с такими весами рёбер находится подграф  $T_1 = (V, \tilde{E}_1)$  максимального рёберного веса при условии, что степень вершины  $v$ ,  $v \in V$ , удовлетворяет ограничению  $1 \leq d_{T_1}(v) \leq 2$ . Отыскание  $T_1$  выполняется с помощью упомянутой выше процедуры из [13]. По лемме 1 этот граф не содержит циклов.

Положим  $\tilde{E}_2 = \tilde{E} \setminus \tilde{E}_1$  и определим подграф  $G_2 = (V, \tilde{E}_2)$ . Легко видеть, что степень вершины  $v$  графа  $G_2$  удовлетворяет неравенству  $1 \leq d_{G_2}(v) \leq 2$ . Число циклов в графе  $G_2$  обозначим через  $S$ . Переход на этап 3.

**Этап 3.** Если в графе  $G_2$  каждый цикл содержит ребро, которое инцидентно концам разных цепей из  $T_1$ , то делается переход на этап 4.

Если в графе  $G_2$  имеется цикл  $C$ , в котором нет двух соседних вершин, являющихся концами разных цепей из  $T_1$  (см. рис. 1), то полученная пара рёберно непересекающихся остовных подграфов  $(T_1, G_2)$  преобразуется следующим образом.

По лемме 2 в цикле  $C$  имеются только три вершины, одна из которых (обозначим ее через  $v_3$ ) имеет степень 4 в графе  $\tilde{G}$  (и степень 2 в графе  $T_1$ ), а остальные две вершины  $v_1$  и  $v_2$  являются концами одной цепи  $P$  в графе  $T_1$ . Кроме того, согласно лемме 2 вершина  $v_3$  не лежит на цепи  $P$ , которая, в свою очередь, состоит из трёх вершин  $v_1$ ,  $v_4$  и  $v_2$  и двух рёбер (см. рис. 1). Рёбра графа  $\tilde{G}$  перераспределим между  $T_1$  и  $G_2$  так, как это показано на рис. 1; при этом объединение рёбер будет по-прежнему равно  $\tilde{E}_1 \cup \tilde{E}_2$ , число цепей в  $G_2$  увеличится на 1, число циклов в  $G_2$  уменьшится на 1, а число цепей в  $T_1$  останется прежним. Заметим, что в каждом цикле преобразованного графа  $G_2$  имеется ребро, инцидентное концам разных цепей из  $T_1$ .

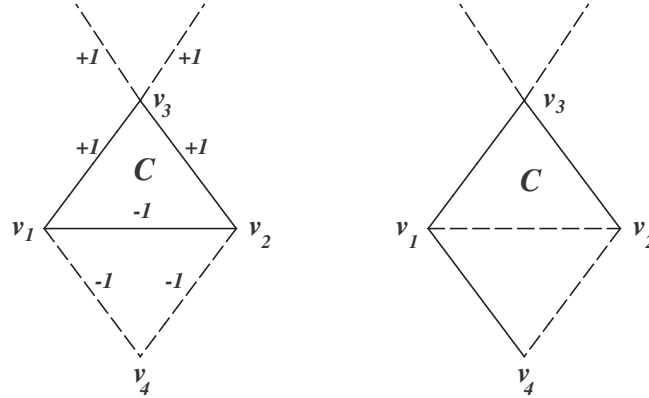


Рис. 1. Цикл  $C$ , в котором нет двух соседних вершин, являющихся концами разных цепей из  $T_1$

**Этап 4.** Пара непересекающихся по рёбрам остовных подграфов  $(T_1, G_2)$  преобразуется в пару  $(\tilde{T}_1, \tilde{G}_2)$  следующим образом: из каждого

цикла графа  $G_2$  удаляется по ребру, соединяющему концевые вершины разных цепей в  $T_1$ , и эти ребра добавляются в  $T_1$ .

Заметим, что полученные графы  $\widetilde{T}_1$  и  $\widetilde{G}_2$  являются частичными турами. При этом число цепей в  $\widetilde{G}_2$  не меньше  $S$ , а число цепей в  $\widetilde{T}_1$  меньше числа цепей в  $T_1$  не больше чем на  $S$ . Переход на этап 5.

Этап 5. Если  $S \geq 3$ , то полагается  $T_1 = \widetilde{G}_2$ ,  $T_2 = \widetilde{T}_1$ , иначе полагается  $T_1 = \widetilde{T}_1$ ,  $T_2 = \widetilde{G}_2$ . Переход на этап 6.

Этап 6. По очереди соединяются цепи тура  $T_2$  в гамильтонов цикл  $H_2$  и добавляются недостающие рёбра в  $T_2$  произвольным образом. Если какие-то из этих рёбер присутствуют в  $T_1$ , то удаляем их из  $T_1$ . При этом в  $T_1$  не появляются изолированные вершины (лемма 3). Переход на этап 7.

Этап 7. По лемме 4 в графе  $T_1$  имеется не менее трёх цепей. Очевидно, что из любой трёх таких цепей можно выбрать такие две цепи, что существует ребро, объединяющее эти две цепи в одну цепь и не входящее в гамильтонов цикл  $H_2$ . Последовательно в граф  $T_1$  добавляются такие рёбра до тех пор, пока полученный граф не будет состоять ровно из трёх цепей. Затем осуществляется переход на этап 8.

Этап 8. В начале этапа в графе  $T_1$  имеются ровно три цепи. Возможные взаимные расположения их концов  $v_1, \dots, v_6$  на цикле  $H_2$  изображены на рис. 2.

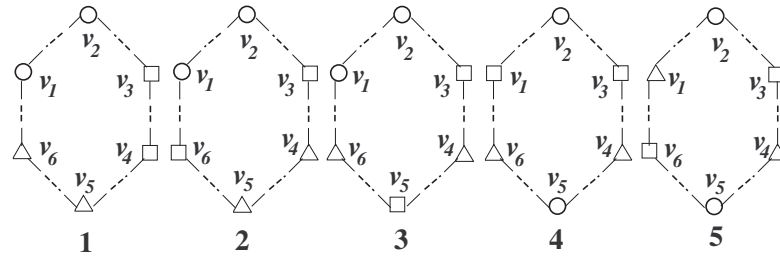


Рис. 2. Возможные конфигурации концевых вершин цепей  $T_1$

В каждом случае концевые вершины одной цепи обозначены одной геометрической фигурой (треугольником, квадратом или кругом).

Если возникла одна из первых четырёх конфигураций, то, добавляя в  $T_1$  следующие наборы рёбер, не входящие в  $H_2$ , получаем гамильтонов цикл  $H_1$ .

А именно:

- 1) ребра  $(v_1, v_5), (v_2, v_4), (v_3, v_6)$  для конфигурации 1.
- 2) ребра  $(v_1, v_3), (v_2, v_5), (v_4, v_6)$  для конфигурации 2.

3) рёбра  $(v_1, v_4), (v_2, v_5), (v_3, v_6)$  для конфигурации 3.

4) рёбра  $(v_1, v_4), (v_2, v_6), (v_3, v_5)$  для конфигурации 4.

В случае, когда  $n > 6$  и имеет место конфигурация 5, в гамильтоновом цикле  $H_2$  есть хотя бы одна вершина, отличная от концевых вершин цепей  $T_1$ . В силу симметричности конфигурации 5 достаточно рассмотреть случай, когда эта вершина лежит на любом из сегментов цикла  $H_2$ , например между  $v_1$  и  $v_2$ . Тогда при добавлении в граф  $T_1$  рёбер  $(v_1, v_2), (v_3, v_5), (v_4, v_6)$ , которые не входят в  $H_2$ , получается гамильтонов цикл  $H_1$ .

В результате работы алгоритм строит непересекающиеся по рёбрам гамильтоновы циклы  $H_1$  и  $H_2$ , суммарный вес которых не меньше  $(3/4)W^*$ . Описание алгоритма закончено.

## 2. Обоснование алгоритма

**Лемма 1.** *Построенный на этапе 2 граф  $T_1$  не содержит циклов и изолированных вершин, а, значит, является частичным туром.*

*Доказательство.* Построенный подграф не содержит циклов, так как в любом таком цикле нашлось бы ребро с весом  $-1$ , которое можно было бы удалить из графа  $T_1$  для получения подграфа с теми же ограничениями на степени вершин, но большего веса. Так как степени вершин этого графа не меньше 1, то в нём нет изолированных вершин. Следовательно, граф  $T_1$  является частичным туром (набором вершинно непересекающихся цепей, покрывающих все вершины исходного графа). Лемма 1 доказана.

**Лемма 2.** *Пусть в начале этапа 2 алгоритма в графе  $G_2$  имеется цикл  $C$ , в котором нет двух соседних вершин, являющихся концами разных цепей из  $T_1$ . Тогда  $n$  нечётно и цикл  $C$  состоит из трёх вершин, по крайней мере две из которых лежат в разных цепях из  $T_1$ .*

*Доказательство.* Очевидно, что в цикле  $C$  имеется всего три вершины, одна из которых (обозначим её через  $v_3$ ) имеет степень 4 в графе  $\tilde{G}$  (и степень 2 в графе  $T_1$ ), а остальные две ( $v_1$  и  $v_2$ ) являются концами одной цепи  $P = (v_1, v_4, \dots, v_5, v_2)$  в графе  $T_1$ . Понятно, что вершина степени 4 в графе  $G$  возникает только при нечётном  $n$ .

Предположим, что все три вершины цикла  $C$  лежат в цепи  $P$ . Это означает, что цепь  $P$  имеет не менее пяти вершин, а в графе  $\tilde{G}$  имеется ребро, соединяющее концы этой цепи (как часть цикла  $C$ ). Но тогда данную компоненту связности графа  $T_1$  можно заменить на две цепи с большим суммарным весом, что противоречит определению  $T_1$ . На рис. 3 представлена описанная ситуация. Сплошные линии изображают рёбра

цикла  $C$ , пунктирные — цепи из  $T_1$ . На рисунке показано преобразование компоненты  $P$  графа  $T_1$  в две компоненты с большим суммарным весом.

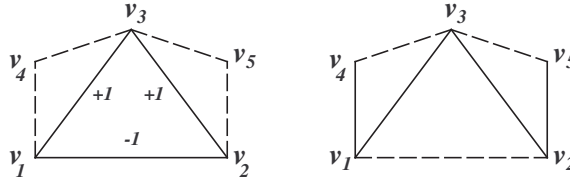


Рис. 3. Преобразование компоненты  $P$  графа  $T_1$  в две компоненты с большим суммарным весом

Из полученного противоречия вытекает, что вершина  $v_3$  не лежит на цепи  $P$ . Цепь  $P$  при этом соединяет другие две вершины цикла  $C$ . Лемма 2 доказана.

**Лемма 3.** При замыкании на этапе 6 частичного тура  $T_2$  до гамильтонова цикла  $H_2$  в графе  $T_1$  не образуются изолированных вершин.

Доказательство. Рассмотрим произвольное ребро  $e$ , которое на этапе 6 удаляется из  $T_1$ . Предположим, что при удалении ребра  $e$  из  $T_1$  в этом графе возникает изолированная вершина. Это означает, что одна из концевых вершин ребра  $e$  имела степень 1 в  $T_1$ . Более того, эта же вершина имела степень 2 в графе  $T_2$ . Следовательно, эта вершина не была концом цепи в  $T_2$ . Поэтому ребро  $e$  не могло быть использовано на этапе 6 для замыкания частичного тура  $T_2$  до гамильтонова цикла  $H_2$ . Противоречие. Лемма 3 доказана.

**Лемма 4.** К началу этапа 7 в графе  $T_1$  содержится не менее 3 цепей.

Доказательство. Обратимся к этапу 2. По построению рёбра графа  $T_1$  имеют веса либо 1, либо  $-1$ . При этом в нём содержится не более двух рёбер веса 1, и если такие два ребра есть, то они смежны (Напомним, что рёбра веса 1 возникают только в случае графа  $G$  с нечётным числом вершин). Вершины графа  $T_1$  имеют степени 1 или 2, а суммарный вес его рёбер минимален среди всех подграфов такого вида в графе  $G'$ . Из сказанного следует, что граф  $T_1$  состоит из цепей с количеством вершин от 2 до 5 в каждой, причём в нём имеется не более одной цепи (которая опять же может возникнуть только в случае нечётного  $n$ ) с числом вершин более трёх. Обозначим число концов цепей в  $T_1$  через  $k$ .

Принимая во внимание вышесказанное, заключаем, что если  $n > 13$ , то  $k \geq 10$ .

Если  $S \geq 3$ , то число цепей в графе  $T_1$ , полученном после выполнения этапа 5, не меньше  $S$ .

Если  $S < 3$ , то в процессе преобразований на этапах 3–4 число цепей в  $\widetilde{T}_1$  уменьшилось не более чем на 2, а изначально в  $T_1$  было по крайней мере 5 цепей (так как  $k \geq 10$ ). Лемма 4 доказана.

Обозначим через ОПТ оптимальное значение целевой функции в задаче 2-PSP.

**Лемма 5.**  $w(\widetilde{E}) \geq (3/4)\text{ОПТ}$ .

*Доказательство.* Пусть гамильтоновы циклы  $H_1$  и  $H_2$  образуют оптимальное решение задачи, и пусть  $w(H_1) \leq w(H_2)$ . Тогда  $w(H_1) \leq (1/2)\text{ОПТ}$ . Рассмотрим паросочетание  $M$ , лежащее в цикле  $H_1$ , и два множества рёбер:  $E' = H_2 \cup (H_1 \setminus M)$  и  $E'' = H_2 \cup M \cup \{e\}$ , где  $e$  — произвольное ребро из  $H_1 \setminus M$ . Заметим, что  $E'$  и  $E''$  образуют в графе  $G$  остовные подграфы, в которых степень каждой вершины равна 3, кроме, возможно, одной вершины степени 4 (в случае нечётного  $n$ ). Следовательно,  $w(\widetilde{E}) \geq \max\{w(E'), w(E'')\} \geq \text{ОПТ}$ .

Возможны два случая:  $w(M) \leq (1/2)\text{ОПТ}$  и  $w(M) > (1/2)\text{ОПТ}$ . В первом случае справедливо неравенство  $w(E') \geq (3/4)\text{ОПТ}$ , во втором случае —  $w(E'') \geq (3/4)\text{ОПТ}$ , что вместе с вышеприведенной нижней оценкой для  $w(\widetilde{E})$  доказывает утверждение леммы.

**Теорема 1.** Построенный алгоритм за время  $O(n^3)$  находит допустимое решение задачи 2-PSP, вес которого составляет не менее  $3/4$  от веса оптимального решения.

*Доказательство.* Можем ограничиться рассмотрением случая  $n > 13$ , так как при меньших значениях  $n$  алгоритм является точным. Очевидно, что временная сложность алгоритма в основном определяется временем выполнения этапов 1 и 2, когда используется процедура из работы [13]. Временная сложность этой процедуры в условиях рассматриваемой задачи равна  $O(n^3)$ , поскольку степени вершин подграфов, отыскиваемых алгоритмом, ограничены константой 3, если число вершин  $n$  графа  $G$  чётно, и 4, если  $n$  нечётно.

Пусть  $W^*$  — суммарный вес двух гамильтоновых циклов оптимального решения данной задачи. Оценка точности  $3/4$  следует из леммы и из того, что вес множества  $\widetilde{E}$  в ходе выполнения алгоритма полностью распределяется между двумя рёберно непересекающимися гамильтоновыми циклами  $H_1$  и  $H_2$ . Таким образом,

$$W(H_1) + W(H_2) \geq W(\widetilde{E}) \geq (3/4)\text{ОПТ}.$$

Теорема 1 доказана.



## ЛИТЕРАТУРА

1. Агеев А. А., Бабурин А. Е., Гимади Э. Х., Коркишко Н. М. Алгоритмы с константными оценками точности для отыскания двух рёберно непересекающихся гамильтоновых циклов экстремального веса // Всероссийская конференция "Проблемы оптимизации и экономические приложения". Материалы конференции (Омск, 1–5 июля 2003 г.). Омск: Изд-во Наследие, 2003. С. 9–12.
2. Бабурин А. Е., Гимади Э. Х., Коркишко Н. М. Приближенные алгоритмы для нахождения двух рёберно непересекающихся гамильтоновых циклов минимального веса // Дискрет. анализ и исслед. операций. Сер 2. 2004. Т. 11, № 1. С. 11–25.
3. Сердюков А. И. О некоторых экстремальных обходах в графах // Управляемые системы. Сб. науч. тр. Вып. 17. Новосибирск: Ин-т математики СО АН СССР. 1978. С. 76–79.
4. Сердюков А. И. Алгоритм с оценкой для задачи коммивояжера на максимум // Управляемые системы. Сб. науч. тр. Вып. 25. Новосибирск: Ин-т математики СО АН СССР, 1984. С. 80–86.
5. Baburin A. Y., Gimadi E. Kh., Korkishko N. M. Algorithms with performance guarantees for a metric problem of finding two edge-disjoint Hamiltonian circuits of minimum total weight // Operations Research Proceedings. 2004. Berlin: Springer, 2004. P. 316–323.
6. Christofides N. Worst-case analysis of a new heuristic for the traveling salesman problem // Technical Report CS-93-13, Carnegie Mellon University, 1976.
7. Croce F. D., Pashos V. Th., Calvo R. W. Approximating the 2-peripatetic salesman problem // 7th Workshop on Modelling and Algorithms for Planning and Scheduling Problems MAPS 2005. (Siena, Italy, June 6–10). 2005. P. 114–116.
8. De Brey M. J. D., Volgenant A. Well-solved cases of the 2-peripatetic salesman problem // Optimization. 1997. V. 39, N 3. P. 275–293.
9. De Kort J. B. J. M. Lower bounds for symmetric  $K$ -peripatetic salesman problems // Optimization. 1991. V. 22, N 1. P. 113–122.
10. De Kort J. B. J. M. Upper bounds for the symmetric 2-peripatetic salesman problem // Optimization. 1992. V. 23, N 4. P. 357–367.
11. De Kort J. B. J. M. A branch and bound algorithm for symmetric 2-peripatetic salesman problems // European J. Oper. Res. 1993. V. 70, N 2. P. 229–243.
12. Duchenne E., Laporte G., Semet F. Branch-and-cut algorithms for the undirected  $m$ -peripatetic salesman problem // European J. Oper. Res. 2005. V. 162, N 3. P. 700–712.

- 13. Gabow H. N.** An efficient reduction technique for degree-constrained subgraph and bidirected network flow problems // Proc. of the 15th annual ACM symposium on theory of computing (Boston, April 25–27). New York: ACM Press, 1983. P. 448–456.
- 14. Krarup J.** The peripatetic salesman and some related unsolved problems // Combinatorial programming: methods and applications (Proc. NATO Advanced Study Inst., Versailles, 1974). 1975. P. 173–178.

Адрес авторов:

Институт математики  
им. С. Л. Соболева СО РАН,  
пр. Академика Коптюга, 4,  
630090 Новосибирск, Россия.

Статья поступила

27 сентября 2005 г.

Переработанный вариант —  
5 апреля 2006 г.